



UNIVERSITÉ
University of Namur
DE NAMUR

Institutional Repository - Research Portal Dépôt Institutionnel - Portail de la Recherche

researchportal.unamur.be

THESIS / THÈSE

MASTER EN SCIENCES MATHÉMATIQUES

Conditions de convergence pratiques pour les problèmes d'optimisation d'une fonction sans contrainte

Romain, Nadine

Award date:
1976

Awarding institution:
Universite de Namur

[Link to publication](#)

General rights

Copyright and moral rights for the publications made accessible in the public portal are retained by the authors and/or other copyright owners and it is a condition of accessing publications that users recognise and abide by the legal requirements associated with these rights.

- Users may download and print one copy of any publication from the public portal for the purpose of private study or research.
- You may not further distribute the material or use it for any profit-making activity or commercial gain
- You may freely distribute the URL identifying the publication in the public portal ?

Take down policy

If you believe that this document breaches copyright please contact us providing details, and we will remove access to the work immediately and investigate your claim.

Conditions de convergence
pratiques pour les problèmes
d'optimisation d'une fonction
sans contrainte.

RONAIN

NADINE

0488344.547

90769

Table des matières

	<u>Pages</u>
<u>Chapitre 1 : Partie théorique</u>	
I Introduction	5
II Préliminaires.	11
§ 1: Notes concernant les erreurs de minimisation	13
§ 2: Vitesse de convergence	17
§ 3: Quelques résultats classiques.	19
III Propriétés des méthodes de descente	23
§ 1: Hypothèses et définitions.	23
§ 2: Lemmes et théorèmes de convergence.	25
IV Application de la partie III à la méthode gradient conjugué	34

46

I Correlation

48

II Measures

55

Cloudiness : Cloudiness

72

Achievement

Chapitre 1

- Partie théorique -

I

Introduction

Dans ce travail, nous nous intéressons au problème suivant : nous cherchons à résoudre le problème d'optimisation sans contrainte : $\text{inf. } F(x), x \in \mathbb{R}^n$ (P) où F est une fonction réelle de n variables réelles. Généralement, on suppose F différentiable.

Les algorithmes constructifs, susceptibles d'applications numériques pour l'approximation du (ou d'un) $x \in \mathbb{R}^n$ réalisant l'infinum (appelé dès lors "solution optimale" du problème (P)), sont des méthodes itératives. Ces procédés de calcul démarrent avec un point x^0 donné.

En utilisant les valeurs calculées de la fonction et généralement des dérivées partielles premières, ils engendrent une suite de points x^k ($k = 1, 2, \dots$)

Ils demandent évidemment que cette suite de points tendent vers le point où F atteint son minimum.

La plupart des algorithmes calculent la suite de points en utilisant des directions de recherche linéaires.

En un point x^k (point obtenu à la $k^{\text{ème}}$ itération) on choisit une direction de recherche d^k . À ce moment, la fonction $f(t) \equiv F(x^k + t d^k)$ (e) est considérée comme une fonction de la variable réelle t .

Le point x^{k+1} (point à la $k+1$ ^{ème} itération) est défini par

$$x^{k+1} = x^k + t d^k \quad (3)$$

la valeur de t étant déterminée de manière à avoir l'inégalité

$$F(x^{k+1}) \leq F(x^k)$$

De nombreux algorithmes considéraient la minimisation EXACTE de la fonction $F(x)$

Or, en pratique, on a constaté qu'il était numériquement impossible d'atteindre cette minimisation exacte

C'est pourquoi, nous nous intéressons dans ce mémoire à des algorithmes ne considérant plus cette recherche exacte.

Le problème est toujours :

$$\min F(x), \quad x \in \mathbb{R}^n$$

où F est une fonction de plusieurs variables.

MAIS au lieu de considérer le paramètre t comme un paramètre exact, ces algorithmes essayent de trouver une APPROXIMATION DE t et c'est là que réside l'innovation par rapport aux algorithmes précédents.

Ils procèdent comme suit : le point à la $k+1$ ème itération sera calculé à partir du point à la k ème itération par la relation

$$x^{k+1} = x^k + t^k d^k$$

où t^k est cette fois une approximation de t_m^k défini comme suit :

$$f^k(t_m^k) = \min \{ F(x^k + t d^k) \mid t > 0 \}$$

et où d^k est la direction de recherche.

At course at set approximation, we
will need method draw to solution
(how initial value could be used)
that could be to quote through
how by separation could prove this is the
method of descent, in other words
the course we do the course

$$\frac{\Delta F(x_{k+1}) - \Delta F(x_k)}{x_{k+1} - x_k} = \theta$$

Now we [1] a point
that could be to draw
the course we do the method of descent
(how initial value could be used)
that approximates it a change iteration
at a change iteration (through
will need method draw to solution
(how initial value could be used)
the course we do the course

vergence. Nous les appliquerons à la méthode gradient conjugué et plus particulièrement à la méthode G.

La 2^{de} partie sera la partie pratique où nous présenterons un algorithme de résolution pour la méthode G.

II Préliminaires

Notre but est donc de minimiser une fonction $F(x)$ sans contrainte et sans recherche linéaire exacte et d'établir des propriétés de convergence pour les méthodes permettant de réaliser ce fait.

Nous supposerons dans la suite que $F(x)$ possède des dérivées seconde continuë et que la matrice des dérivées secondes est définie positive. Remarquons que la seconde hypothèse entraîne que la fonction $F(x)$ est convexe [2]. Elle implique aussi que tout minimum local est un minimum global [3].

Pour résoudre ce problème, nous procé-

dons comme indiqué ci-après.

Plaçons-nous à la $k^{\text{ème}}$ itération.

Le point x^{k+1} est obtenu à partir de x^k

$$\text{par : } x^{k+1} = x^k + t^k d^k$$

où t^k est une approximation de t_m^k

définie par (3)

t^k est la longueur du pas

d^k est la direction de recherche.

À l'endroit du minimum, nous avons les relations :

$$\frac{df^k(0)}{dt} < 0$$

$$\text{et } \frac{df^k(t_m^k)}{dt} = 0$$

$$\frac{df^k(t)}{dt} = \nabla F^T(x^k + t d^k) d^k$$

c'est à dire : en posant : $g^k = \nabla F(x^k)$

$(g^k)^T d^k < 0$ et $(g^{k+1})^T d^k = 0$ qui sont les conditions de conjugaison de la recherche exacte.

you have to form
certain eos as metu de longum de
pule, on a horse, this instrument draw
in your, you to McLeod as to you just
returning to your town of Edgerton
you will see all sorts of visitors
would scarcely do less, et donc tout
you can draw to calculate time de-
pendant, attendu un huit degrés, de
duretou as to calculate a change direction
quand est arrivé de la situation de
du mouvement as conseguu as McLeod
à l'heure de l'assaut envoi au

as l'assaut

§ 1 : Note. Ainsi que le rapport de l'assaut

$$t^k = \rho t_m^k \quad \text{avec } 0 < \rho < 1$$

technique connue sous le nom de

"sous-descente" [4]

Ljulic [5] a étudié les vitesses de convergence pour les méthodes de descente appliquées à la minimisation de fonctions quadratiques. Il a trouvé que les méthodes de descente convergeaient linéairement [6]

(voir appendice 1) si et seulement si

$$\liminf_{n \rightarrow \infty} \frac{1}{n} \sum_{k=1}^n \rho(2-\rho) \cos^2 \gamma^k > 0$$

où γ^k est l'angle entre le gradient et la direction de recherche qui est défini par: $\cos \gamma^k = (g^k)^T d^k / \|g^k\| \|d^k\|$

ρ est le facteur de relaxation, $0 < \rho < 2$

Goldstein et Price [7] ont trouvé que la condition :

$$\epsilon < \frac{F(x^{k+1}) - F(x^k)}{\nabla F^t(x^k)(x^{k+1} - x^k)} < 1 - \epsilon$$

où $0 < \epsilon < 1/2$ serait intéressante puisqu'elle garantit la propriété :

$$\nabla F^t(x^k) d^k < 0$$

Wolfe [1] a montré que $1 - \epsilon$ serait équivalent à $\theta^k < 1 - \epsilon$ où

$$\theta^k = \frac{\nabla F^t(x^{k+1}) d^k}{\nabla F^t(x^k) d^k}$$

De plus, il a noté que ϵ pouvait être remplacé par la condition que la fonction $f^k(t) = F(x^k + t d^k)$ soit monotonialement décroissante : $0 < t < t_m^k$

Klessig et Polak [9] ont découvert un schéma pour contrôler les effets des

erreurs dans la recherche linéaire en exigeant que $\theta^k < \delta^k$ où θ^k est choisi (dépendant de la valeur de γ^k) tel que $\delta^k \leq \delta^{k-1} < 1$.

Ils ont montré que lorsque la méthode gradient conjugué suggérée par Polak et Ribière [10] est appliquée à la minimisation d'une fonction convexe, il existe des constantes positives β et P telles que

$$\delta^k > \delta \quad k = 1, 2, \dots$$

$$\cos \gamma^k \geq P$$

Alors l'algorithme révisé converge linéairement [6].

§ 2.

Vitesse de convergence

Les méthodes que nous considérons dans ce mémoire sont du type "gradient conjugué", c'est à dire qu'elles ont la propriété suivante :

Si elles sont appliquées directement à la minimisation d'une fonction quadratique $F(x) = x^T A x$, alors, les directions de recherche successives sont conjuguées par rapport à A c'est à dire :

$$(d^{t+1})^T A d^t = 0$$

Si $d^1 = -\nabla F(x^1)$, on peut montrer que de telles méthodes se terminent en au plus au plus pour un problème n -dimensionnel quadratique.

Powell [1] a montré que l'algorithme

de Davidon - Fletcher - Powell produisait la convergence super-linéaire [6] (voir appendice 1) quand on l'appliquait à une fonction convexe, en supposant une minimisation exacte.

Puisque les erreurs s'accumulent au fur et à mesure des itérations, nous aurons des problèmes en ce qui concerne les fonctions non quadratiques.

C'est pourquoi on suggère de redémarrer l'algorithme toutes les m (ou $m+1$) itérations en posant $d^k = -\nabla F(x^k)$ si $\text{mod}(k, m) = 0$. Une telle procédure converge vers le minimum, puisque le pas de descente est pris selon des intervalles réguliers.

§ 3

Quelques résultats classiques.

On considère deux classes de méthodes de gradient conjugué :

a) - les méthodes "vectorielles"

b) - les méthodes "matricielles"

a) Les méthodes "vectorielles" utilisent comme direction de recherche une combinaison linéaire du gradient et d'un autre vecteur, habituellement la direction de recherche précédente

$$d^k = \alpha d^{k-1} + \beta q^k$$

$$\text{où } q^k = \nabla F(x^k)$$

C'est de telles méthodes que nous considérerons dans la suite

et des méthodes "matricielles" calculent la direction de recherche en multipliant le

mouth [av] our $\theta_k = \nu - \eta$ are
 few to mouth fields over, on a
 start the wwwwww down $\theta_k = 0$
 it's snowing over our x_{k+1} set to this
 we to difficult down to division d_k in x
 do you other down to division d_k
 our requirement do you other do to difficult
 $\theta_k = (q_{k+1}^T d_k) / (q_k^T d_k)$
 d_k the division for

d_k d_{k-1} d_{k-2} d_{k-3} d_{k-4}
 all M_k set settle a result of
 $d_k = M_k - q_k^T q_k$
 good result that we can make

$0 < \eta < 1$ est suffisante pour garantir la convergence vers le minimum. On n'a pas encore établi de vitesse de convergence.

Pour la méthode Sandor-Fletcher-Powell, les conditions $0 \leq \theta^k \leq 1 - m$

$$\theta^k \leq R |g^k|^2 / (g^k)^T M^k g^k$$

$$\theta^k \leq S (g^k)^T M^k g^k / |g^k|^2$$

$$\theta^k \leq T (g^{k+1})^T M^k g^{k+1} / |g^k|^2$$

$$RT \leq 1 - c$$

où $0 < m < 1$, $0 < c < 1$, R, S, T des constantes arbitraires positives, sont suffisantes [12] pour avoir une vitesse de convergence linéaire [6].

Une condition plus forte :

$$\theta^k \leq (1 - c) (g^{k+1})^T M^k g^{k+1} / (g^k)^T M^k g^k$$

est suffisante [12] pour que le rapport
soit superlinéaire [6]

Nous démontrerons dans

que la condition

$$[(q^{t_{n+1}})^t q^t]^{\theta^t} \leq (1 - c) |q^{t_{n+1}}|^c$$

est suffisante pour avoir une vitesse de
convergence linéaire pour la "méthode G".

La "méthode G" est une méthode
gradient conjugué dans laquelle on fixe

$$\theta = -1$$

III

Propriétés des méthodes de descente

§1 Nous allons démontrer dans les pages suivantes, des théorèmes se rapportant à la vitesse de convergence et à la convergence des méthodes de descente en général.

Nous énoncerons en premier lieu les hypothèses dans lesquelles nous travaillons, ainsi que quelques définitions.

Nous nous plongons sous les hypothèses :

a) : $F(x)$ a des dérivées secondes continues.

b) : les valeurs propres de la matrice Hessien $\nabla^2 F(x)$ sont limitées supérieurement et inférieurement respectivement par E et e .

c) : Les dérivées secondes de F satisfont la condition de Lipschitz :

$$|\nabla^2 F(x) - \nabla^2 F(z)| \leq L |x - z|$$

où L est une constante et z la position du minimum de $F(x)$

Définition 1. Une méthode de descente est un procédé itératif pour trouver le minimum sans contrainte d'une fonction objective $F(x)$, pour laquelle, étant donné x^0 on a : $F(x^{k+1}) < F(x^k)$ $k = 0, 1, \dots$ où x^k est le point à l'itération k

Définition 2. Le vecteur d est une direction de descente à partir du point x , si il existe un $\delta > 0$ tel que pour tout $t \in [0, \delta]$ on ait :

$$F(x + t d) < F(x)$$

25

§2 Nous allons développer des résultats semblables à ceux donnés par Wolfe [1] mais en tenant compte des erreurs dans les recherches linéaires. A cet effet, nous établirons deux Lemmes qui nous conduiront à un théorème de vitesse de convergence et un théorème de convergence.

Lemme 1 :

Soit $\bar{x} = x + \bar{t}d$ où \bar{t} est tel qu'on ait :

$$\nabla F^T(x)d < 0 \text{ et } \nabla F^T(\bar{x})d = \theta \nabla F^T(x)d$$

$$0 \leq \theta < 1 \text{ et}$$

$$\text{Soit } \cos \psi = \nabla F^T(x)d / |\nabla F(x)|^2 + |d|^2$$

Alors :

$$\frac{1}{2} E^{-1} (1 - \theta)^2 |\nabla F(x)|^2 \cos^2 \psi \leq F(x) - F(\bar{x})$$

$$\leq \frac{1}{2} E^{-1} (1 - \theta^2) |\nabla F(x)|^2 \cos^2 \psi. \quad (1*)$$

Démonstration :

Considérons une fonction à une variable :

$h(t)$ définie pour tout $t > 0$

Supposons que $h(0) = 0$, $h'(0) < 0$ et

$$\varepsilon \leq h''(t) \leq E.$$

Par intégration de ces inégalités, nous obtenons : $\varepsilon t + h'(0) \leq h(t) \leq Et + h'(0)$ (1)

Soit \bar{t}_f une approximation du minimum de $h(t)$ telle que $h'(\bar{t}_f) = 0$ $h'(0)$ où

$0 \leq \theta \leq 1$. En remplaçant t par \bar{t}_f

dans (1) nous avons :

$$-\frac{(1-\theta)h'(0)}{\varepsilon} \leq \bar{t}_f \leq -\frac{(1-\theta)h'(0)}{E} \quad (2)$$

Intégrons à nouveau (1) :

$$q(t) \leq h(t) \leq Q(t) \quad (3)$$

$$\text{ou } q(t) = \frac{1}{2} \varepsilon t^2 + [h'(0)]t$$

$$Q(t) = \frac{1}{2} Et^2 + [h'(0)]t$$

Soient \bar{t}_q et \bar{t}_Q les deux points où :

$$q'(\bar{t}_q) = \theta q'(0) \text{ et } Q'(\bar{t}_Q) = \theta Q'(0). \text{ Alors :}$$

$$\bar{t}_q = -\frac{(1-\theta)[k'(0)]}{\theta} ; \bar{t}_Q = -\frac{(1-\theta)[k'(0)]}{E}$$

À ce moment, on peut écrire (2) par :

$$\bar{t}_Q \leq \bar{t}_k \leq \bar{t}_q \quad (4)$$

Puisque $q(t)$ est monotonialement décroissante dans l'intervalle $(0, \bar{t}_q)$, nous pouvons utiliser (3) et (4) pour obtenir :

$$k(\bar{t}_k) \geq q(\bar{t}_k) \geq q(\bar{t}_q) \quad (5)$$

de la même manière :

$$k(\bar{t}_k) \leq k(\bar{t}_Q) \leq Q(\bar{t}_Q) \quad (6)$$

En combinant (5) et (6), nous avons :

$$q(\bar{t}_q) \leq k(\bar{t}_k) \leq Q(\bar{t}_Q)$$

ou

$$\begin{aligned} -\frac{1}{2} \theta^{-1} (1-\theta^2) [k'(0)]^2 &\leq k(\bar{t}_k) \leq \\ -\frac{1}{2} E^{-1} (1-\theta^2) [k'(0)]^2 \end{aligned} \quad (7)$$

Supposons que $h(t)$ soit définie comme

$$h(t) = F(x + td) - F(x). \text{ Alors}$$

$$h'(t) = \nabla F^t(x + td)d$$

$$h''(t) = d^T \nabla^2 F(x + td) d$$

Or, $h(0) = 0$. et si d est une direction de descente à partir de x , alors $h'(0) < 0$.

En utilisant les limites des valeurs propres du Kerman : $\epsilon \|d\|^2 \leq h''(t) \leq E \|d\|^2$.

Donc, à partir de (2), nous avons :

$$\epsilon \|d\|^2 \bar{\tau}_k \leq -(1-\theta) \nabla F^t(x)d \leq E \|d\|^2 \bar{\tau}_k \quad (8)$$

Posons : $\bar{x} = x + \bar{\tau}_k d$. L'équation (7) nous donne :

$$-\frac{1}{2} \epsilon^{-1} (1-\theta^2) [\nabla F^t(x)d]^2 \|d\|^{-2} \leq F(\bar{x}) - F(x)$$

$$\leq -\frac{1}{2} E^{-1} (1-\theta^2) [\nabla F^t(x)d]^2 \|d\|^{-2}$$

CQFD.

Commentaire : En imposant $\theta \geq 0$, nous

avons exigé que la dérivée au point minimum approché et au point de départ aient le même signe. Nous avons donc exigé que l'approximation du minimum soit entre le point de départ et le minimum exact. A ce moment, nous sommes sûrs que la valeur de la fonction au minimum approché sera inférieure à la valeur de la fonction au point de départ.

cas n° 2

Si β est la position du minimum de $F(x)$ alors :

$$\frac{1}{2} \epsilon^{-1} |\nabla F(\alpha)|^2 \leq F(\alpha) - F(\beta) \leq \frac{1}{2} \epsilon^{-1} |\nabla F(\alpha)|^2 \quad (2*)$$

démonstration :

Soit x^* le point obtenu à partir de α

dans la direction d jusqu'au moment où $\theta = 0$ c'est à dire $\nabla F^T(x^*)d = 0$

Si β est la position du minimum de $F(x)$ alors, $F(x) - F(\beta) \geq F(x) - F(x^*)$

A partir de l'inégalité du lemme précédent en prenant $d = -\nabla F(x)$ on a :

$$\frac{1}{2} \epsilon^{-1} |\nabla F(x)|^2 \leq F(x) - F(\beta)$$

et puisque d peut être choisi telle que x^* soit arbitrairement près de β , on a :

$$F(x) - F(\beta) \leq \frac{1}{2} \epsilon^{-1} |\nabla F(x)|^2 \quad \text{CQFD.}$$

Théorèmes (de vitesse de convergence)

Si une méthode de descente est telle que

$$1 - (\theta^k)^r \geq c > 0 \text{ et } \cos^2 \gamma^k \geq r > 0 \text{ où}$$

r et c sont des constantes et $k = 1, 2, \dots$ alors, la suite de points engendré

par la méthode converge vers la solution avec une vitesse qui est au moins linéaire.

Démonstration :

Ce théorème est une conséquence immédiate de la relation :

$$1 - E^{-1} \varepsilon (1 - \theta^2) \cos^2 \varphi \geq \frac{F(\bar{x}) - F(\bar{z})}{F(x) - F(z)} \geq \\ 1 - E^{-1} \varepsilon (1 - \theta^2) \cos^2 \varphi \quad (3*)$$

obtenue en divisant la relation

(1*) du lemme 1 par la relation (2*) du lemme 2.

Théorème 2 (de convergence)

Si une méthode de descente est telle que $1 - (\theta^h)^2 \geq c > 0$ où c est une constante et $h = 1, 2, \dots$

Alors, la suite de points engendré

par la méthode converge vers la solution si et seulement si

$$\sum_{j=1}^{\infty} \cos^2 \varphi_j = \infty$$

Démonstration :

Soit $\bar{M} = \lim_{j \rightarrow \infty} F(x^j)$ (à cause des conditions sur θ , $F(x^j)$ est une suite monotonialement d'croissante limitée inférieurement par $F(3)$ et donc \bar{M} existe.) Alors : $\bar{M} \geq F(3)$

Si $\sum_j \cos^2 \varphi_j < \infty$, alors il existe un t_n tel que la partie droite de l'inégalité (3*) dans le théorème s' satisfait :

$$1 - \varepsilon^{-1} E(1 - (\varphi_j)^2) \cos^2 \varphi_j \geq 1 - \varepsilon^{-1} E \cos^2 \varphi_j > 0$$

pour tout $j \geq t_n$. Nous pouvons donc prendre le produit de la partie droite

de (3*) pour tout $j > h$.

Supposons que $F(x^h) \neq F(3)$, nous avons

$$\frac{\bar{M} - F(3)}{F(x^h) - F(3)} \geq \prod_{j \geq h} (1 - \varepsilon^{-1} E \cos^2 \varphi_j) \quad (4*)$$

A partir de (4*), nous concluons que

$\bar{M} > F(3)$ et $F(x^h)$ ne converge pas vers $F(3)$.

Pour prouver l'inverse, nous prenons la partie gauche de (3*) pour tout $j > h$, où nous supposons que $F(x^h) \neq F(3)$

$$\prod_{j \geq h} [1 - \varepsilon^{-1} \varepsilon (1 - (\delta j)^2) \cos^2 \varphi_j] \geq \frac{\bar{M} - F(3)}{F(x^h) - F(3)} \quad (5*)$$

La condition $\varepsilon_j \cos^2 \varphi_j = \infty$ implique que la partie gauche de (5*) est nulle ; donc $\bar{M} = F(3)$, et $F(x^h)$ converge vers $F(3)$ et la preuve est complète.

II

Application de la théorie précédente

à la méthode gradient

Coupi qui

Nous présentons dans les pages suivantes une application de la théorie donnée dans le paragraphe précédent.

Plus particulièrement, nous parlerons de la vitesse de convergence d'une méthode gradient particulière : la "méthode G". Nous donnerons à cet effet des conditions sur l'erreur dans la solution à chaque itération. Ces conditions sont suffisantes pour montrer que la méthode converge vers le minimum d'une fonction qui admet des dérivées secondes et dont

les valeurs propres de la matrice A s'assimilent
sont bornées inférieurement et supérieure-
ment. Nous montrerons que sous ces
conditions, la "méthode G." converge
linéairement [6].

Nous supposons aussi que la fonction
à minimiser est quadratique.

Les méthodes gradient utilisent comme
direction de recherche une combinaison
linéaire du gradient et d'un autre
vecteur à l'itération précédente

$$d^{k+1} = a^k d^k + b^k q^{k+1}$$

où a^k et b^k sont des scalaires et où
 q^{k+1} est le gradient de la fonction
au point x^{k+1} .

Pour simplifier les notations, nous

marquerons d'une astérisque les quantités se rapportant à la $k+1^{\text{ème}}$ itération et nous laisserons sans indice celles de la $k^{\text{ème}}$ itération.

Nous aurons donc :

$$d^* = ad + bg^*$$

Nous choisissons a et b tels que d^* soit conjugué à d par rapport à la matrice $G = \nabla^2 F$

Cette condition nous donne la relation suivante : $\frac{a}{b} = -\frac{g^{*t} G d}{d^t G d}$ (1)

(réalisable car G est définie positive donc $d^t G d \neq 0$ car $d \neq 0$)

Cette relation découle de la réalisation de la condition de conjugaison : $d^* G d = 0$

$$\begin{aligned} \text{En effet: } d^* G d &= a d^+ G d + b q^* G d = 0 \\ a d^+ G d &= - b q^* G d \\ a/b &= - q^* G d / d^+ G d. \end{aligned}$$

En posant $\gamma = q^* - q$, la relation (1) peut s'écrire :

$$a/b = - q^* \gamma / d^* \gamma.$$

Nous considérons, avouons-nous dit, un cas particulier de la méthode gradient couplé qui se sait la "méthode G".

Cette méthode n'est rien d'autre que la méthode gradient couplé où l'on pose :

$$b = -1$$

Avec cette valeur de b , nous obtenons donc a par :

$$a = q^* \gamma / d^* \gamma$$

Avant d'examiner les propriétés de con-

vergence de la "méthode G", nous citerons quelques formules géométriques qui, développées, nous serviront dans la démonstration des théorèmes de vitesse de convergence.

Thème technique

i) Posons

$$\begin{cases} \cos \varphi = q^t d |q|^{-1} \\ \cos \varphi^* = q^{*t} d |q^*|^{-1} |d|^{-1} \\ T = a |d| / b |q^*| \end{cases}$$

nous aurons : $b^{-1} \cos \varphi^* = |d^*|^2 |q^*| (1 + T \cos \varphi)$

$$|d^*|^2 / |q^*|^2 \leq (1 + |T|)^2$$

Démonstration : voir Annexe 2.

ii) Pour prouver la convergence linéaire de la "méthode G", nous imposons la condition suivante sur θ :

$$(q^{*t} q) \theta < (1 - \eta) |q^*|^2$$

qui nous conduira à une condition nécessaire et suffisante pour que d^* soit une direction de descente, c'est à dire à la condition

$$(q^{*t} q) \theta \leq \|q^*\|^2$$

Démonstration : Voir Annexe 3.

En se servant de ces résultats, nous sommes maintenant en mesure de démontrer des théorèmes qui vont suivre.

Théorème 1.

La suite de points engendré par la "méthode g" converge linéairement vers le minimum de $F(x)$ si à chaque itération $k = 1, 2, \dots$ l'erreur θ^k satisfait l'inégalité :

$$\theta^k (g^{k+1})^T g^k < (1-\gamma) \|g^{k+1}\|^2$$

$$0 \leq \theta^k \leq 1-c$$

où c et γ sont des constantes :

$$0 < c < 1 \text{ et } 0 < \gamma < 1.$$

Démonstration :

Considérons la quantité

$$T = a \|d\| / b \|g^*\|$$

$$= -g^*{}^T y \|d\| \|y\| / \|g^*\| \|y\| d^+ y$$

(en remplaçant a/b par sa valeur)

$$|T| \leq \frac{\|d\| \|y\|}{d^+ y} |\cos(g^*, y)|$$

Utilisons les limites des valeurs propres du
bession, δ et E

Nous avons :

$$|T| \leq \delta^{-1} E \quad (1)$$

Considérons ensuite :

$$\begin{aligned} 1 + T \cos \varphi &= 1 + \frac{g^* t}{d^* y} \frac{|d|}{|g^*|} \frac{g^* t d}{|g^*||d|} \\ &= 1 + (1 - \theta)^{-1} \theta \cdot g^* t y |g^*|^{-2} \\ &= (1 - \theta)^{-1} (1 - \theta g^* t g^* |g^*|^{-2}) \end{aligned}$$

Par hypothèse nous avons :

$$1 + T \cos \varphi > n/c \quad (2)$$

Or lors, en substituant :

$$\frac{|d^*|^2}{|g^*|^2} \leq (1 + |T|)^2 ; \quad (1) \text{ et } (2)$$

dans l'équation :

$$b^{-1} \cos \varphi^* = |d^*|^{-1} |g^*| (1 + T \cos \varphi) ,$$

nous obtenons :

$$-\cos 4^* > \eta [c(1 + \varepsilon^{-1} E)]^{-1}$$

Grâce au théorème 1 page 30 ,
 la suite engendrée par la méthode
 converge vers le minimum de $F(x)$ en une
 vitesse au moins linéaire .

Théorème 2

A chaque pas d'une méthode gradient
 conjugué, la valeur d'une fonction objective
 quadratique diminue d'une valeur au
 moins aussi grande qu'un pas de la
 plus forte pente pris à partir du même
 point , si la méthode gradient conjugué
 satisfait à l'inégalité :

$$|d^{(k)}|^2 |g^{(k)}|^2 \cos^2 4^k > 1 \quad , \quad k=0,1,2\dots$$

Démonstration :

Par le même raisonnement que celui qui conduit à l'inégalité

$$\begin{aligned} -\frac{1}{2} \varepsilon^{-1} (1-\theta^2) [F^t(x)d]^2 |d|^{\theta^2} &\leq F(\bar{x}) - F(x) \\ &\leq \frac{1}{2} \varepsilon^{-1} (1-\theta^2) [\nabla F^t(x)d]^2 |d|^{\theta^2} \end{aligned}$$

(voir lemme 1, p 25)

nous obtenons :

$$F(\bar{x}) - F(x) = \frac{-(1-\theta^2)[\nabla F^t(x)d]^2}{2d^t[\nabla^2 F]d} \quad (1)$$

En posant : $G = \nabla^2 F$, en éllevant d^* au carré et en multipliant par G nous obtenons :

$$d^{*t} G d^* = g^{*t} G g^* - 2a g^{*t} G d + a^2 d^t G d$$

$$\text{En utilisant : } a/b = -g^{*t} G d / d^t G d,$$

nous avons :

$$\begin{aligned} d^{*t} G d^* &= g^{*t} G g^* - 2a g^{*t} G d + a^2 d^t G d \\ &= g^{*t} G g^* - 2 \frac{g^{*t} G d}{d^t G d} g^{*t} G d \end{aligned}$$

$$+ \frac{(q^* t \cos \theta)^2}{(d^* \cos \theta)^2} d^* \cos \theta$$

$$= q^{*t} \cos \theta - \frac{2(q^* t \cos \theta)^2}{d^* \cos \theta} + \frac{(q^* t \cos \theta)^2}{d^* \cos \theta}$$

$$= q^{*t} \cos \theta - \frac{(q^* t \cos \theta)^2}{d^* \cos \theta}$$

à qui multipliquons:

$$d^* \cos \theta > q^* \cos \theta \quad (2)$$

Considérons maintenant

$$(q^* t \cos \theta)^2 = |q^*|^4 |d^*|^2 \cos^2 \theta + |q^*|^2$$

Alors, par hypothèse

$$(q^* t \cos \theta)^2 > |q^*|^4 \quad (\text{car } |d^*|^2 \cos^2 \theta + |q^*|^2 > 1) \quad (3)$$

Grâce aux relations (1), (2), (3), on établit le résultat demandé.

43

Remarque.

Si nous choisissons dans le théorème 1 les paramètres tels que $\eta > c$, alors la "méthode G." satisfait les hypothèses du théorème 2.

Cela peut se voir en continuant :

$$b^{-1} \cos \varphi^* = |d^*|^{-1} |\dot{q}^*| (1 + T \cos \varphi)$$

et $|d^k|^c |\dot{q}^k|^{-2} \cos^k \varphi^* >_1 , k=0,1,2\dots$

nous obtenons :

$$|d^*|^c |\dot{q}^*|^{-c} \cos^c \varphi^* = (1 + T \cos \varphi)^c > (n/c)^c >_1$$

Nous avons donc montré que chaque direction choisie par la "méthode G." sera au moins aussi lourde que la direction de la plus forte pente quand la méthode est appliquée à la minimisation d'une fonction quadratique.

IV Conclusions.

Nous avons considéré la minimisation d'une fonction à n variables réelles sans contrainte.

Comme la minimisation exacte n'est numériquement pas réalisable, nous avons introduit un terme d'erreur θ^k dans la solution du problème à chaque itération. La grandeur de cette erreur est mesurée par :

$$\theta^k = \frac{\nabla F^T(x^{k+1}) d^k}{\nabla F^T(x^k) d^k}$$

Cette erreur est due au fait que nous avons considéré le paramètre t , dans l'expression donnant le point x à la $k+1^{\text{ème}}$ itération à savoir :

$$x^y + y^x = x+y$$

dialects as well as to his ^{own} education)

commonly known as the "orthodox" or "orthodoxism".

orthodox

Now you can see my real school now

directors do you feel as to the ^{final} situation?

九

II

Annexes.Annexe 1.Convergence linéaire.

La notion de vitesse de convergence est définie comme suit :

Soit une suite $\{z_i\}_{i=0}^{\infty}$ dans un espace de Banach B , qui converge vers z^* .

On dira que $\{z_i\} \rightarrow z^*$ au moins linéairement (ou que la vitesse de convergence vers z^* est au moins linéaire) si il existe un entier $k \geq 0$, une constante E et un $\theta \in [0, 1]$, tels que

$$\|z_i - z^*\|_B \leq E \theta^i \quad \forall i \geq k$$

c'est-à-dire que la convergence de $\{z_i\}$

75

est au moins linéaire si $\|z_i - z^*\|_{\beta} \rightarrow 0$
 quand $i \rightarrow \infty$ au moins aussi vite
 qu'une progression géométrique

Convergence superlinéaire.

Définissons l'ordre φ d'une méthode itérative I au point x^* comme :

$$\begin{aligned} O_Q = \infty & \text{ si } Q_p = 0 \text{ pour tout } p. \\ & = \inf \{ p : Q_p = \infty \} \text{ autrement.} \end{aligned}$$

(Pour la définition de Q_p voir [4])

La méthode est dite Q -superlinéaire si

$$Q_1 = 0$$

La convergence superlinéaire ne spécifie pas l'ordre, par exemple, la convergence quadratique est superlinéaire.

(Sans cette optique la convergence est dite linéaire si $O_Q = 1$ et $0 < Q_1 < 1$)

Annexe 2

Démonstration de la partie i) du
leurreme technique page 38 à savoir :

$$\text{Puisque } \cos \varphi = q^t d \lg l^{-1}$$

$$\cos \varphi = q^{*t} d \lg^{*} l^{-1} / d l^{-1}$$

$$T = - \frac{a |d|}{b |\lg^{*}|}$$

Nous aurons :

$$1) b^{-1} \cos \varphi^{*} = |d^{*}|^{-1} |\lg^{*}| (1 + T \cos \varphi)$$

$$2) |d^{*}|^2 / |\lg^{*}|^2 \leq (1 + |T|)^2$$

1) Multiplions $d^{*} = ad + bq^{*}$ par q^{*}

$$q^{*t} d^{*} = a q^{*t} + b |\lg^{*}|^2$$

$$= b |\lg^{*}|^2 (1 + T \cos \varphi)$$

$$\text{Alors : } b^{-1} \cos \varphi^{*} = |d^{*}|^{-1} |\lg^{*}| (1 + T \cos \varphi)$$

$$\text{En effet : } b |\lg^{*}|^2 + b |\lg^{*}|^2 + \cos \varphi =$$

$$p_7 * b_{\alpha} + s_1 * b_{19} = p_7 * g_{\alpha}$$

$$p_7 * b_{\alpha} - 1 * p_1 \alpha + 1 * b_{19} - 1 * p_{11} * b_{19} = -1 * p_1 * p_7 * b_{\alpha}$$

$$\begin{aligned} & p_7 * b_{\alpha} - 1 * p_1 \alpha + 1 * b_{19} - 1 * p_{11} * b_{19} \\ &= -1 * p_1 * -1 * b_1 * p_7 * b_{\alpha} - 1 * b_{19} \end{aligned}$$

$$\begin{aligned} & 1 * b_{19} \\ & \frac{1 * b_{19}}{(p_7 * b_{\alpha} - 1 * p_1) + (1 * b_{19} - 1 * p_{11} * b_{19})} \\ &= -1 * p_1 * -1 * b_1 * p_7 * b_{\alpha} - 1 * b_{19} \end{aligned}$$

$$p_7 * b_{\alpha} - 1 * p_1 + 1 * b_{19} - 1 * p_1 =$$

$$\frac{1 * b_{19}}{-1 * p_1 - 1 * b_1 * p_7 * b_{\alpha} - 1 * p_1 + 1 * b_{19} - 1 * p_1} =$$

$$(-1 * p_1 - 1 * b_1 * p_7 * b_{\alpha} - 1 * b_{19} + 1) * 1 * b_{19} - 1 * p_1 = 4 * b_{\alpha} - 9$$

$$\text{only } \checkmark = p_7 * b_{\alpha} + s_1 * b_{19}$$

$$p_{11} * b_1 * p_7 * b_{\alpha} * \frac{1 * b_{19}}{1 * p_1 * b_{\alpha}} * 1 * b_{19} + s_1 * b_{19} =$$

2) Prenons le carré de $d^* = ad + bg^*$

$$|d^*|^2 = a^2 |d|^2 + 2ab g^{*t} d + b^2 |g^*|^2$$

$$\begin{aligned} \frac{|d^*|^2}{|g^*|^2} &= b^2 + \frac{2ab g^{*t} d}{|g^*|^2} + a^2 \frac{|d|^2}{|g^*|^2} \\ &= b^2 \left(1 + 2 \frac{a}{b} \frac{g^{*t} d}{|g^*|^2} + \frac{a^2}{b^2} \frac{|d|^2}{|g^*|^2} \right) \end{aligned}$$

Puisque $b = -1$,

$$\text{on a : } \frac{|d^*|^2}{|g^*|^2} = 1 - 2a \frac{g^{*t} d}{|g^*|^2} + a^2 \frac{|d|^2}{|g^*|^2}$$

$$\text{or } T = -a \frac{|d|}{|g^*|}$$

$$T \cos \varphi = \frac{a}{b} \frac{|d|}{|g^*|} g^{*t} d |g^*|^{-1} |d|^{-1}$$

$$= \frac{a}{b} \frac{g^{*t} d}{|g^*|^2} = -a \frac{g^{*t} d}{|g^*|^2}$$

$$\Rightarrow \frac{|d^*|^2}{|g^*|^2} = 1 + 2T \cos \varphi + T^2 = (1 + |T|)^2$$

C.Q.F.D.

Annexe 3.

Démontrons maintenant la seconde partie du lemme c'est-à-dire :

Pour prouver la convergence linéaire de la "méthode G" nous imposons la condition suivante sur θ à savoir : $(g^* \cdot g) \theta < (1 - \gamma) \|g^*\|^2$ (où $0 < \gamma < 1$), qui nous conduira à une C.N.S pour que d^* soit une direction de descente c'est à dire à la condition :

$$(g^* \cdot g) \theta < \|g^*\|^2$$

La mesure de l'erreur dans la solution à l'itération k est : $\theta = \frac{g^{*t} d}{g^t d}$

Nous imposons une condition sur θ : celle de l'énoncé.

the result of the diffusion of the two
species in the medium is given by the
equation

$$\frac{dN}{dt} = D \nabla^2 N - kN^2$$
$$= D \left(\frac{\partial^2 N}{\partial x^2} + \frac{\partial^2 N}{\partial y^2} + \frac{\partial^2 N}{\partial z^2} \right) - kN^2$$
$$= D \left(\frac{\partial^2 N}{\partial x^2} + \frac{\partial^2 N}{\partial y^2} + \frac{\partial^2 N}{\partial z^2} \right) - kN^2$$

Chapitre 2.

- Partie Numérique -

Expérience Numérique

Afin d'illustrer la théorie exposée dans le 1^{er} chapitre, nous allons l'appliquer à un problème bien défini à savoir :

$$\min F(x_1, x_2) = 100(x_2 - x_1^2)^2 + (1 - x_1)^2$$

L'algorithme général de résolution sera le suivant :

Etape 0 : lire $x^0 = (-1, 2, 1.0)$

Etape 1 : plâsons-nous à la $k+1$ ^{ème} itération. Soient

$d^{k-1}, x^k, F(x^k), g(x^k)$ connus.

af - calculer la direction de recherche d^k

$$d^k = a^{k-1} d^{k-1} + b^{k-1} g^k$$

$$b^{k-1} = -1$$

$$a^{k-1} = \frac{(g^k)^T g^{k-1}}{d^{k-1} g^{k-1}} \quad \text{où } g^{k-1} = g^k - g^{k-1}$$

b) calculer t^h , approximation de

$$t_m^h$$

(ce calcul étant assez complexe,
nous le détaillons dans un algo-
rithme auxiliaire)

Etape 2 : calculer x^{h+1} par la relation :

$$x^{h+1} = x^h + t^h d^h$$

Calculer $g(x^{h+1})$

Si $g(x^{h+1}) < \varepsilon$ STOP, on

est arrivé au minimum

sinon passer à l'étape 3.

Etape 3 : Calculer l'erreur faite dans la

solution : $\theta^h = \frac{g(x^{h+1})^t d^h}{g(x^h)^t d^h}$

Etape 4 : tests de convergence sur θ^h

Si $\theta^h \leq 1 - \eta \quad 0 < \eta < 1$

$$\text{et si } [g(x^{k+1})^T g^k] \alpha^k \leq (1-\epsilon) |g^{k+1}|^2 \\ 0 < \epsilon < 1$$

aller à l'étape 2

Si non aller en 6

Etape 6: Il n'y a pas convergence STP.

La plus grande difficulté est de calculer le paramètre t^*

Nous devons pour cela résoudre un problème uni-dimensionnel à chaque itération

Il faut trouver t^* tel que

$$f(t^*) = \min \{ f(t) = F(x + t d) \mid t > 0 \}$$

Pour résoudre ce problème, nous utilisons un procédé recommandé par Coggins [13]

Nous allons rechercher une approximation du paramètre suivant l'algorithme auxiliaire suivant :

Algorithme auxiliaire

- 1) on se donne un point initial x_0 et on calcule la valeur de la fonction en ce point

2) Si on se trouve à la première itération
on donne à t une valeur $t_0 = 1$

$$\text{Sinon : } t_0^{h+1} = 0.5 t_m^h |d^h| / |d^{h+1}|$$

3) On a un nouveau point : $x_0 + t_0 d_0$

4) On calcule la valeur de la fonction
en ce point

5) Si la valeur de la fonction est inférieure
ou égale à la valeur de la fonction au
point précédent, on va en 6

Sinon on va en 7

6) On double la longueur du pas et on
calcule la valeur de la fonction en ce
nouveau point

Aller ensuite en 5)

7) on réduit de moitié la longueur du
pas et un pas est à nouveau franchi

à partir du dernier point ayant donné une amélioration du résultat. On obtient de cette manière 4 points également espacés sur l'axe de recherche

8) On rejette le point terminal le plus éloigné du point pour lequel on obtient la plus petite valeur ; on a donc localisé trois points équidistants : t_1, t_2, t_3 tels que : $t_1 < t_2 < t_3$

$$t_3 - t_2 = t_2 - t_1$$

et $f(t_1) > f(t_2)$

$$f(t_2) < f(t_3)$$

9) Partant avec ces 3 points, on utilise une interpolation quadratique qui nous permet de localiser un point t^* tel que $t_1 < t^* < t_3$ (ce qui est possible

puisque la fonction est convexe)

ii) On effectue des approximations quadratiques successives pour localiser le minimum.
Après chaque itération, un point est éliminé.

iii) Les itérations se terminent quand

$$\text{a)} \quad |f_m^* - f_m| < \bar{\epsilon} |t_m^* - t_m|$$

$$\text{ou } \bar{\epsilon} = \epsilon [g^T(x^k) d^k]$$

où f_m et f_m^* sont deux approximations successives du minimum de $f(t)$

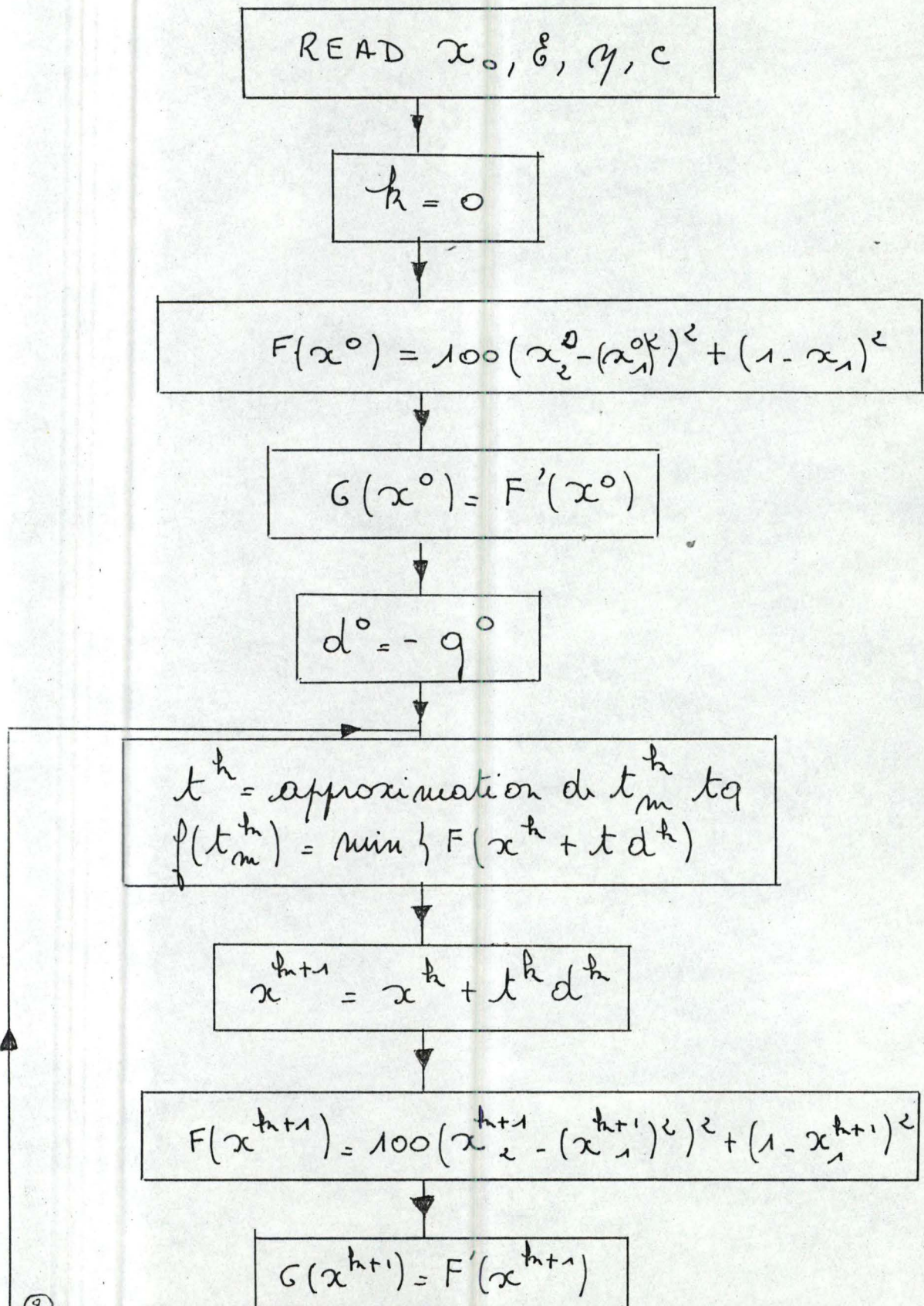
se passant en $t=t_m$ et $t=t_m^*$

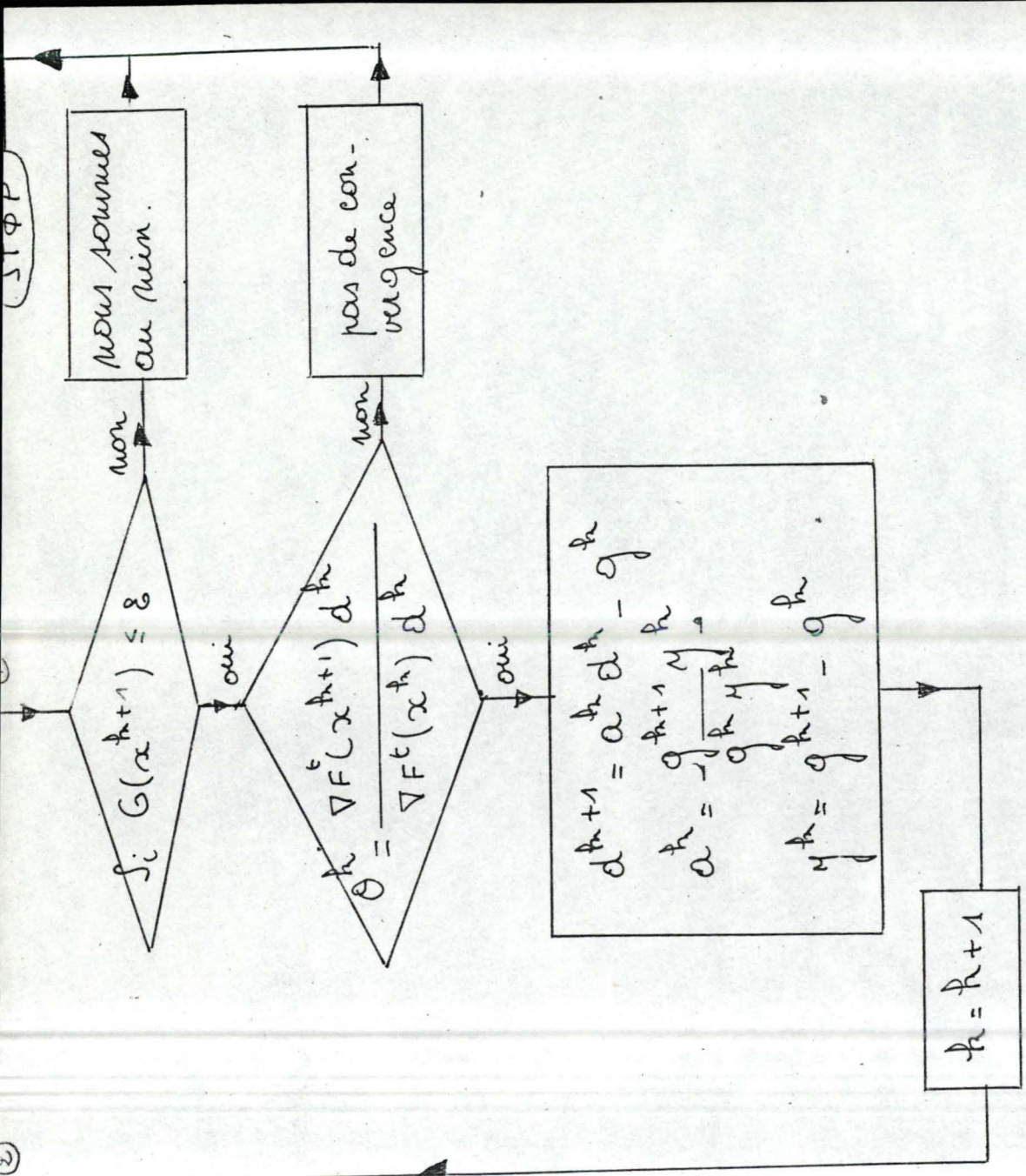
$$\text{et b)} \quad \bar{\epsilon} |t_m^* - t_m| < 10^{-5} (|f_m^* + f_m|/2)$$

A ce moment, le t_m^* sera la valeur que l'on prendra dans le calcul de

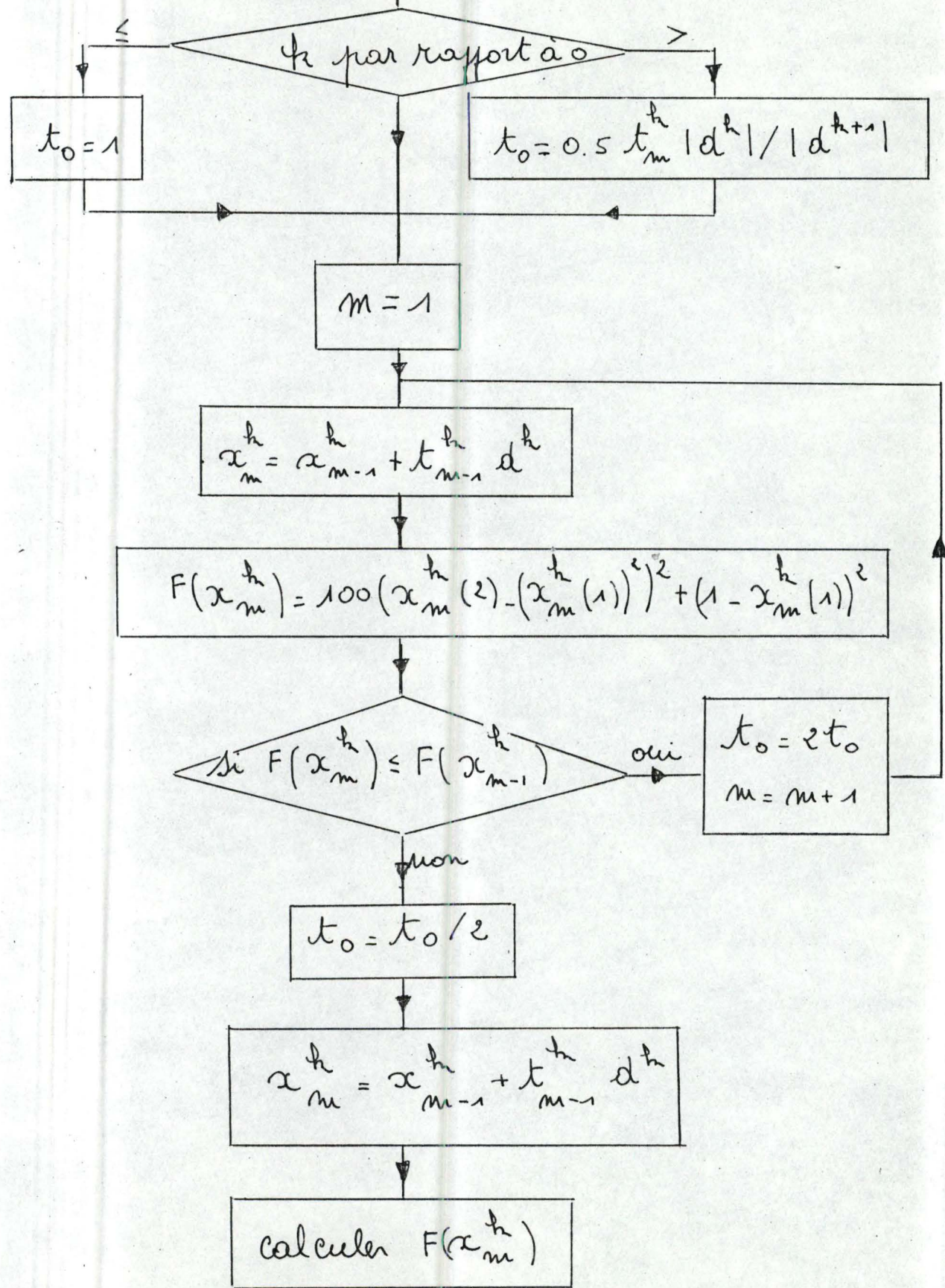
$$x^{m+1}$$

Organigramme de l'algorithme général





Organigramme de l'algorithme auxiliaire



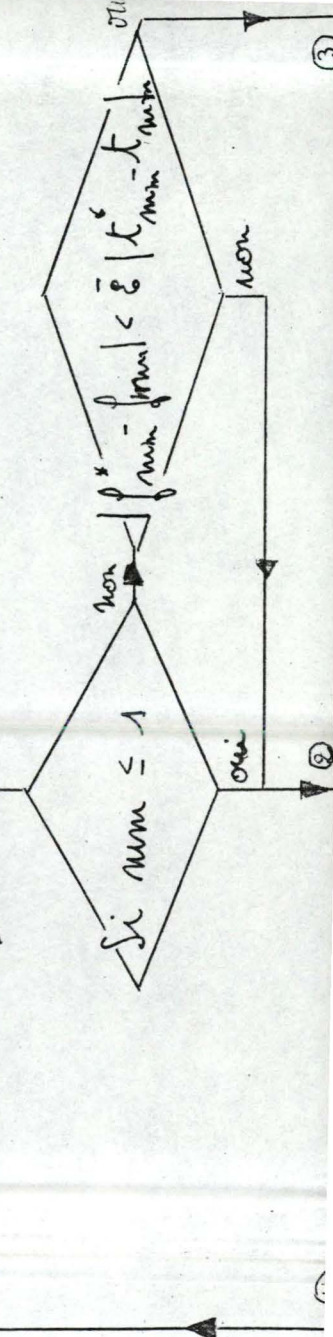
calculer les 3 points
équidistants
 t_1, t_2, t_3

$$\begin{aligned} f(t_1) &= F(x_{m-1}^h) \\ f(t_2) &= F(x_m^h) \\ f(t_3) &= F(x_{m+1}^h) \end{aligned}$$

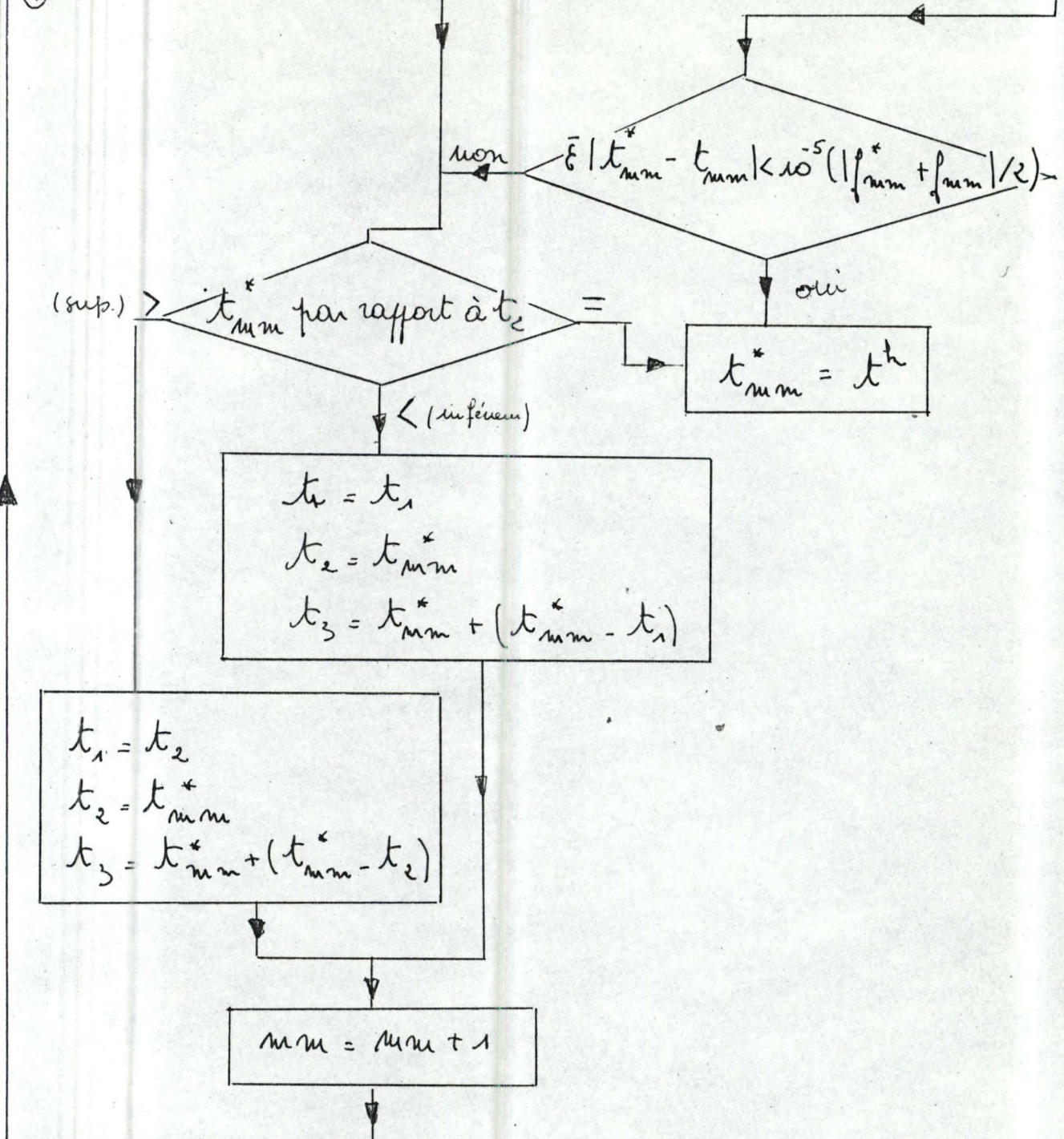
calculer \bar{e}
 $\bar{e} = e[\nabla F^t(x^h) d^h]$

$$t_{mm}^* = -\frac{1}{2} \frac{t_1 + t_2 - f(t_1) + f(t_2)}{t_2 - f(t_2) - f(t_3)}$$

Calculer $f(t_{mm}^*)$



④



Remarque: h représente les itérations sur x

m représente les itérations sur t

Si $t_{num}^* = t^h$, on met cette valeur dans le programme principal.

Résultats

Ensuite les schémas des organigrammes, nous avons rédigé le programme en utilisant pour la recherche de l'approximation de t une méthode de 3 points équidistants. Nous avons donc été amené à faire des itérations dans des itérations. Comme les itérations sur x sont déjà assez nombreuses, et que chacune exige des itérations sur t , il faut un temps machine considérable. Ce qui à mon avis n'est pas un "bon point" pour la méthode. De plus, quand on obtient t^* à la n ème itération, il faut à nouveau chercher 3 points équidistants. Nous l'avons fait de la manière suivante :

La fonction étant connue, nous étions sûrs

que : $t^< t^* < t^2$ (où t^* a pris le plan de t_2). Nous regardons de quel côté du t^2 se situe t^* . S'il se trouve à gauche, nous prenons le plus grand écart entre $t^2 - t^*$ ou $t^* - t^1$ et nous prenons les 3 points suivants :

$$t_1 = t_1 \text{ si } t^* - t^1 \text{ est } > \text{ à } t^2 - t^*$$

$$= t^* - (t_2 - t^*) \text{ sinon}$$

$$t_2 = t^*$$

$$t_3 = t^* + (t^* - t^1) \text{ si } t^* - t^1 \text{ est } > t^2 - t^*$$

$$= t_2 \text{ sinon.}$$

La aussi la méthode serait sans aucun doute à améliorer.

Middleman found [ie] a test a

no effect. All a response to the multiple
alters in employment is multilevel
as Middleman found gender effects

found, the Middleman effect. There

also Middleman found gender effects

no effect. All a response to the multiple

All a different

Row d G ! (anc $\beta = .5$, $T = .9$)

(Middleman G: 170 situations d F, 85 stola)

(Middleman DFP: 136 real d F, 81 situations

(Middleman F: 508 situations d F, 77 stola.

Rows d G : (anc $\beta = .5$)

the results of approximation of

however it

Conclusions.

Nous constatons donc que la non précision dans les recherches binaires n'est pas un facteur critique pour atteindre une vitesse de convergence satisfaisante pour les méthodes gradient conjugué.

Les résultats varient évidemment suivant le choix des constantes ϵ et T . La grande difficulté à mon avis réside dans la recherche d'une approximation du paramètre x .

Je suppose qu'il y aurait moyen de trouver une méthode plus perfectionnée que celle proposée, et qui permettrait d'accélérer encore la vitesse de convergence.

[5] Ajulec: "General Theory of Quadratic Extractions", Joint Mathematics Colloquium, Ed. 5, p. 15, 1952.

[4] Batum: "Numerical Stability and Convergence of Iterative Methods for Solving Nonlinear Equations", Kharkov and Saratov Mathematical Seminar, Kharkov University Library Publishing, Ed. 5, p. 15, 1952.

[3] Fiedler: "Approximation of Roots", Comptes Rendus de l'Academie des Sciences de Paris.

[2] J. Leyendecker: "A Theory of Linear and Non-Linear Programming", Acta Mathematica, Vol. 67, No. 1, 1936.

[1] Löve: "Convergent Theory in Non-Linear Programming", Non-Linear Programming, Ed. 5, Heldermann Verlag, Berlin, 1930.

References

5-43
[10] Poet e and Riché: "Letters we ha-
-comparing the methods of the
-lourenço and "Louvrenço". Show
-four a "difficult question at the
-the church of our settlement 2, p. 35-43

[9] Hemingway et Goldfarb: "Difficult situation -
-relations of the Goldfarb. Riché
-longest guard until throughout"
-in two No. 49 in my collection
-second laboratory, University of
-early forms, particularly

[7] Goddetem and Gricc: "On electric also -
-little for (university)
-lunatic asylum (university) so,
-London, etc. [etc. etc.]
-head music given. New York and

[6] Goddetem: "Constitutional methods in
-of our nation. A United Americ
-head music given. New York and
-London, etc. [etc. etc.]

[11] Powell: "On the Convergence of a Variable Metric Algorithm.", Atomic Energy Research Establishment, Harwell
TP 332.

[12] Venard Melamis: "Practical Convergence Conditions for Unconstrained Optimization", Columbia University.

[13] Coggins, G.F.: "Univariate Search Methods", Research Note 6414, Central Instrument Research Laboratory, Imperial Chemical Industries, Ltd.